

基于非稳态热传导模型的炉内元件温度拟合与分析

September 2020

摘要

本文解决了题目 A ——炉温曲线的问题一、问题二与问题三，并对问题四做了分析。基于傅里叶定律、牛顿冷却定律与能量守恒定律，建立非稳态热传导模型。本文考虑了温区之间的热导影响，解出了热传导偏微分方程的数值解，并较好地拟合了真实实验数据。在新的预设温度下，以固定步长遍历传送带的速度区间，在制程界限的限制下逐个检验每一个解，进行至多三次迭代，得到传送带运行速度的最大可行解。再将预设温度与传送带速度设为新的参数，利用微分法计算出目标函数的数值解，在约束条件下尝试参数的可能解，从而找到参数的最优解。

关键词

非稳态热传导模型，牛顿冷却定律，傅里叶定律，最小二乘法拟合，目标函数优化，迭代优化算法

1 问题重述

将安装电子元件的印刷电路板放置在回焊炉中，通过加热可将电子元件自动焊接到电子板上。

焊炉内有 11 个小温区及炉前区域和炉后区域。小温区长 30.5 cm，相邻有 5 cm 间隙，炉前区域、炉后区域长 25 cm。回焊炉启动后，炉内空气温度视为瞬间达到稳定。炉前区域、炉后区域和小温区间隙温度与相邻温区的温度有关。生产车间温度保持在 25°C。设定温度分别为：小温区 1-5，175°C；小温区 6，195°C；小温区 7，235°C；小温区 8-9，255°C；小温区 10-11，25°C。传送带过炉速度为 70 cm/min；焊接区域厚度为 0.15 mm。

称焊接区域中心温度曲线为炉温曲线。焊接区域中心温度达到 30°C 时开始，电路板进入回焊炉开始计时。

可调节各温区的温度和传送带的过炉速度。在原始设定温度基础上，各小温区温度可进行 $\pm 10^\circ\text{C}$ 范围内的调整。调整时要求小温区 1-5、小温区 8-9、小温区 10-11 中的温度保持 25°C。传送带的过炉速度调节范围为 65-100 cm/min。此外，炉温曲线应满足制程界限。

需解答下列问题：

(1) 对焊接区域的温度变化规律建立数学模型。假设传送带过炉速度为 78 cm/min，各温区温度的设定值分别为：小温区 1-5，173°C；小温区 6，198°C；小温区 7，230°C；小温区 8-9，257°C。给出焊接区域中心的温度变化情况，列出小温区 3、6、7 中点及小温区 8 结束处焊接区域中心的温度，画出相应的炉温曲线，并记录每隔 0.5 s 焊接区域中心的温度。

(2) 假设各温区温度的设定值分别为：小温区 1-5：182°C、小温区 6：203°C、小温区 7：237°C、小温区 8-9：254°C，确定允许最大传送带过炉速度。

(3) 确定在“使超过 217°C 到峰值温度所覆盖的面积最小”要求下的最优炉温曲线，以及各温区的设定温度和传送带的过炉速度，并给出相应面积。

(4) 结合问题 3，进一步给出“以峰值温度为中心线的两侧超过 217°C 的炉温曲线应尽量对称”最优炉温曲线，以及各温区设定的温度及传送带过炉速度，并给出相应指标值。

2 模型准备

2.1 背景知识

2.1.1 传热方式

热量在传递过程中主要有以下三种形式：

1. 热传导 热传导指能量在物体内部由高温区到低温区的传递或在高温物体到与之接触的低温物体的传递。其限制发生传热的物质间没有宏观位移。由傅立叶定律描述该现象。

2. 热对流 热对流指能量在流体的各部分间发生相对位移、冷热流体互相掺杂情况下的传递。其限制只发生在流体中。由牛顿冷却定律描述该现象。

3. 热辐射 热辐射指温度差产生的电磁波空间传递。由斯蒂芬-玻尔兹曼定理描述该物理现象。

2.1.2 傅里叶定律

傅里叶定律以微分方程的形式描述了热量在介质之间传导的规律。公式如下：

$$q = -\lambda \frac{\partial T}{\partial x}$$

其中, q 为热流密度, λ 为导热系数, 温度 T 是关于位置 x 的函数。我们使用其微分形式, 因为更加关注其在局部的能量传导率, 即元件进入加热器的前接触面和后接触面的热量传递过程。

2.1.3 牛顿冷却定律

牛顿冷却定律描述了高于周围环境温度的物体在冷却过程中向周围媒质传递热量的规律。公式如下:

$$\begin{aligned}\Delta t &= |t_w - t_f| \\ q &= h\Delta t \\ \Phi &= qA = Ah\Delta t = \frac{\Delta t}{1/hA}\end{aligned}$$

其中 q 为热流密度, h 为对流传热系数, 和物体本身的性质和物体厚度有关。 ΔT 为物体和环境温度差。 Φ 为传热功率, 即单位时间内的传热量, A 为接触面积。通过观察可以发现物体和周围环境的热交换速率和温度密切相关, 且在累计时间上呈指数递减的趋势。

2.1.4 微分法

在一个二维坐标平面上, 求解一个固定区间内两曲线所夹的面积时, 可以考虑使用微分法进行计算。以 x 轴区间为例, 具体做法为: 将原始区间划分为若干极小区间。对于每个小区间, 用常规多边形计算方式近似求出该区间的覆盖面积。一种计算方法为用矩形近似表示区间面积: 求出小区间左右两侧边界的长度 (即两曲线 y 轴坐标绝对值), 用两个长度的平均值表示矩形的长, 用区间的长度 (即边界 x 轴坐标绝对值) 表示矩形的宽, 用矩形面积计算公式获得该矩形面积, 并用其近似表示该小区间覆盖的面积 (如图 1)。随着划分的小区间个数增加, 算法的精度会不断增长, 计算的结果会不断逼近真实情况。当小区间个数足够多时 (即极小区间的区间宽足够小), 误差是极小的。

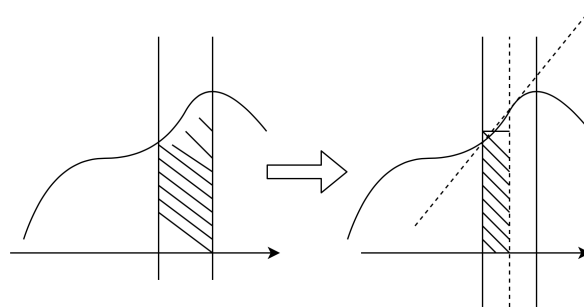


图 1: 微分法

2.2 模型抽象与假设

由于我们仅需要考虑物体在进入炉子之后的在运动方向上的运动变化, 不需要考虑在垂直与运动方向上的热量扩散 (物体的体积大小也允许我们忽略这部分的热量传导差异), 同时由于元件高度较小, 在竖直方向上也可以认为热量是均匀传导。因此, 我们无需建立三维方向上的所有热量传导细节, 只需考虑一维热传导的模型抽象。

除此之外, 针对由于题目中提到各熔炉在启动后温度会快速达到稳定, 所以也需要考虑熔炉之间的热量传递:

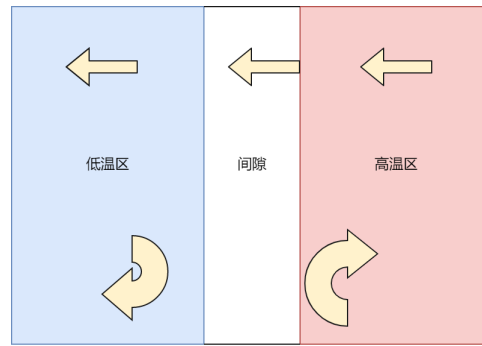


图 2: 温区之间传热的简易示意图

综上所述，我们排除建模过程中无需考虑的元素，将机理模型做适当简化，做出如下假设：

- 假设 1: 间隙温度为相邻小温区之间的平均温度；
- 假设 2: 不考虑接触面之间的接触热阻，并且认为接触面界面光滑连续；
- 假设 3: 简化问题为一维传热问题，不考虑其他不均匀热源和传热过程；

在物体运动方向上的一维简易模型示意图 3 所示。为了便于表示，这里展示的是二维的竖直截面的情况。此时，对水平方向上元件的空间移动，建立坐标系 $s - T_{fur}$ ，对元件内部，建立方向相反的坐标系（便于后续分析） $\alpha - T$ 。焊接中心厚度为 0.15mm ，相对于估计的元件长度 $\alpha = 3\text{cm}$ 很小，可以认为元件的温度即是电路板中点 $\alpha/2$ 位置的温度，而忽略元件内部的热量传递情况。

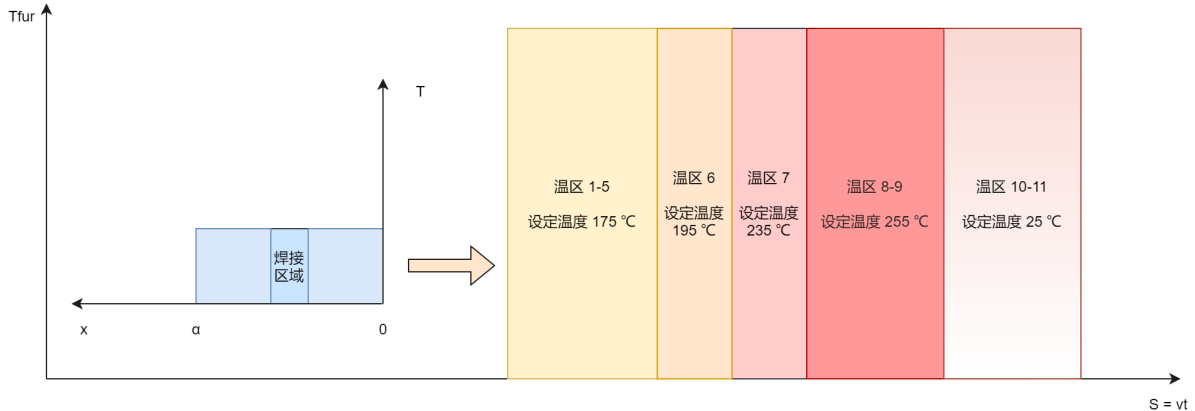


图 3: 焊接区域热传导的简易示意图

2.3 符号定义

本文构件的模型中出现的关键符号定义如表 1 所示。

符号	含义	值	单位
λ	电路板的导热系数	待拟合	$W/(m \cdot ^\circ C)$
h_1, h_2	元件前、后侧与炉内空气间对流换热系数	待拟合	$W/(m^2 \cdot ^\circ C)$
θ	炉间空气之间的换热系数	待拟合	$W/(m^2 \cdot ^\circ C)$
\mathcal{H}	热量控制方程	-	-
t	从炉前区域开始的运动时间	-	s
v	传送速度	65 - 100	cm/min
s	相对起始位置的运动距离	vt	s
x	元件相对出发位置的横向坐标	-	cm
α	元件长度	3 (估计)	cm
T_{env}	环境温度	25	$^\circ C$
$T(t, x)$	电子元件的温度控制方程	-	$^\circ C$
T_{fur_j}	第 j 个熔炉内部的空气温度	-	$^\circ C$
T_{gap_j}	第 j 个熔炉间隙的空气温度	-	$^\circ C$
L_{fur}	熔炉长度	30.5	cm
L_{gap}	熔炉间隙	5	cm
L_{edge}	炉前与炉后区域长度	25	cm
ρ	电子元件密度	7.469 (估计)	g/cm^3
c	电子元件比热容	480 (估计)	$J/g \cdot ^\circ C$
$\mathcal{F}(T_{fur_j}, v)$	目标优化函数	-	-
\mathcal{A}	阴影区域面积	-	-

表 1: 符号定义

3 问题一

3.1 问题分析

3.1.1 模型构建-非稳态传热模型

如前文所述，本模型中主要存在的传热过程为热空气和电子元件间的热对流。传热的过程可以分为稳态传热和非稳态传热。其中，稳态传热不受时间的影响，控制方程中不引入时间；而稳态传热受时间的影响，控制方程中需要引入时间。在本模型中，由于焊接体的运动涉及到时间流动，在控制方程中需要引入时间参数，所以我们建立非稳态传热模型。建立控制方程。焊接面在进入不同的炉中时，会和炉内的高温气体相接触，形成对流传热。

传热控制方程 考虑到电子元件内部的温度随着时间的变化而变化，所以在本问题中，时间对温度的影响无法消去，应当建立一个非稳态的热传导模型。

再考虑电子元件前进时，热空气以垂直于电子原件表面的方向射入，与物体表面发生一个热对流，产生了热量交换。在电子元件的运动过程中，其他方向的热空气影响虽然存在但并不显著，所以暂时假设其影响几乎为零。因此我们可以把此问题抽象成一个一维的非稳态热传导模型。

由能量守恒定律，系统总能量的改变等于传入或者传出该系统的能量。在本模型中，考虑对电子元件这个小型系统进行分析，其热力学能的变化等于流入或者流出该系统的热流量的差值，因此得到一个偏微分控制方程：

$$\rho c \frac{\partial T}{\partial t} = \frac{\partial}{\partial x} \left(\lambda \frac{\partial T}{\partial x} \right)$$

其中，等式左边表示电子元件热力学能的变化，等式右边表示电子元件流入或者流出的热流量的差值。对于具体的参数来讲， ρ 表示电子元件内部体积微元的密度， c 表示电子元件内部各个位置的比热容， λ 表示电子元件材料的导热系数，进一步整理方程得到温度控制方程 \mathcal{H} ：

$$\frac{\partial T}{\partial t} = a^2 \left(\frac{\partial^2 T}{\partial x^2} \right), \quad a^2 = \frac{\lambda}{\rho c}$$

边界条件以及初始条件 根据牛顿冷却定律，热量交换过程中热流量恒定，可以得到控制方程的边界条件：

$$\begin{cases} -\lambda \frac{\partial T}{\partial x} \Big|_{x=0} = h \cdot (Tf(t) - T(0, t)) \\ -\lambda \frac{\partial T}{\partial x} \Big|_{x=\alpha} = h \cdot (T(L, t) - Tf(t - \frac{\alpha}{v})) \end{cases}$$

其中， h 表示热对流系数， λ 表示热导系数， α 表示电子元件的长度， $Tf(t)$ 表示炉内温度， $T(0, t)$ 表示电子元件的头部位置，温度随时间变化的函数关系， $T(\alpha, t)$ 表示电子元件的尾部位置，温度随时间变化的函数关系。

根据已知的车间温度，用 T_{env} 表示，于是控制方程的初始条件可以写成

$$T(x, 0) = T_{env} = 25^\circ\text{C}$$

于是总的初值条件与边界条件为：

$$\begin{cases} -\lambda \frac{\partial T}{\partial x} \Big|_{x=0} = h \cdot (Tf(t) - T(0, t)) \\ -\lambda \frac{\partial T}{\partial x} \Big|_{x=\alpha} = h \cdot (T(L, t) - Tf(t - \frac{\alpha}{v})) \\ T(x, 0) = T_{env} = 25^\circ\text{C} \end{cases}$$

参数估计 在本问题的非稳态传热模型中，电子元件两端的换热系数 h_1, h_2 是未知量，同时电子元件内部的导热系数 λ 同样未知。题目中给出了特定温度下。利用已知的焊接区域温度随时间的变化情况，可以使用最小二乘法拟合出估计值 \hat{h}_1, \hat{h}_2 。可以使用 MATLAB 中的 `lsqcurvefit` 来进行实现。

$$(\hat{h}_1, \hat{h}_2) = \arg \min \sum_{i=1}^N [T(L, t_i; h_1, h_2) - T^*(t_i)]^2$$

对于其他参数，如元件的密度 ρ 、元件的比热容 c 。由于题目中没有给出元件的材料信息，我们使用铁金属的数据作为代入。这里不可避免会和实际情况出现误差，但由于在偏微分方程的控制方程中，变量 $a = \frac{\lambda}{\rho c}$ 含有将会拟合的未知量 λ ，因此误差将会被拟合最小化，尽可能满足附件 1 中提供的实验数据，从拟合到的数据中填补模型的未知参数。

温区温度的变化 电子元件从低温区域进入高温区域，势必会造成温区的温度变化。温区的温度虽然随着时间的推移在基础温度上轻微地波动，但是当电子元件进入时，此温度会发生变化。在本模型中，环境温度认为恒定为 25 摄氏度，不受元件波动和炉的热辐射的影响。但在炉前具有的长为 25 cm 的区域部分，温度仍然会受到第一个炉的高温的影响，导致温度升高。同时，降温区和炉后区域的空缺也由于和相邻温区的温差过大，容易产生较强的热对流。根据牛顿冷却定律 $q = h\Delta T$ ，我们可以得知每个炉的温度都和其相邻的炉内的空气温度有关。接下来考虑该影响。

为了简化计算，我们首先假设在炉与炉之间的空隙的 5cm 部分的温度为相邻两个炉的设定温度的算术平均值。

$$T_{gapj}(t) = \frac{1}{2}(T_{furj-1} + T_{furj})$$

其次，令 $T_{furj}(t)$ 表示在 t 时间第 j 个炉的温度。从能量守恒定律我们知道每个炉从相邻炉获得的热量将会转换成自己的热能，以温度的形式表现。同时，由于炉一直处在有外部能源加热状态，我们可以认为所有炉的总能量在增加，但仍然存在流动。我们将牛顿冷却定律中的系数直接和温度正相关（这是因为在热流量和温度的转换中，温度和热量同样是线性的关系），将相关系数整合为炉间空气的换热系数 θ ，且有以下常微分方程：

$$\frac{dT_{furj}(t)}{dt} = T_{furj}(t) + \theta(T_{furj}(t) - T_{furj-1}(t)) + \theta(T_{furj}(t) - T_{furj+1}(t))$$

使用四阶龙格-库塔法（Runge-Kutta Method）求解该常微分方程。在 t 和 $t+1$ 之间选取四个点求平均斜率。在微分方程 $\frac{dT_{furj}(t)}{dt}$ 中，令：

$$k_1 = T_{furj}(t)$$

$$k_2 = T_{furj}(t + 0.5dtk_1)$$

$$k_3 = T_{furj}(t + 0.5dtk_2)$$

$$k_4 = T_{furj}(t + dtk_3)$$

$$\text{则有 } T_{furj}(t+1) = T_{furj}(t) + \frac{1}{6}(k_1 + 2k_2 + 2k_3 + k_4).$$

在计算中取微分步长 $dt = 0.5$ ，对温度流动过程离散化，得到常微分方程的数值解。该过程使用 Matlab 可视化如图 4 所示：

3.1.2 参数拟合与模型检验

将炉内温度设定为题目所要求的初始问题，通过若干次迭代，得到未知参数的拟合结果如表 2 所示。

参数	猜测值	最小二乘法拟合值
λ	$\lambda_{guess} = 50$	99.7946
$h_1 = h_2$	$h_{guess} = 1000$	1813.6
θ	$\theta_{guess} = 10$	21.2916

表 2: 参数拟合结果

将该拟合数据可视化，和原实验数据进行比对，得到如图 5 所示的结果。为了便于在二维图像中展

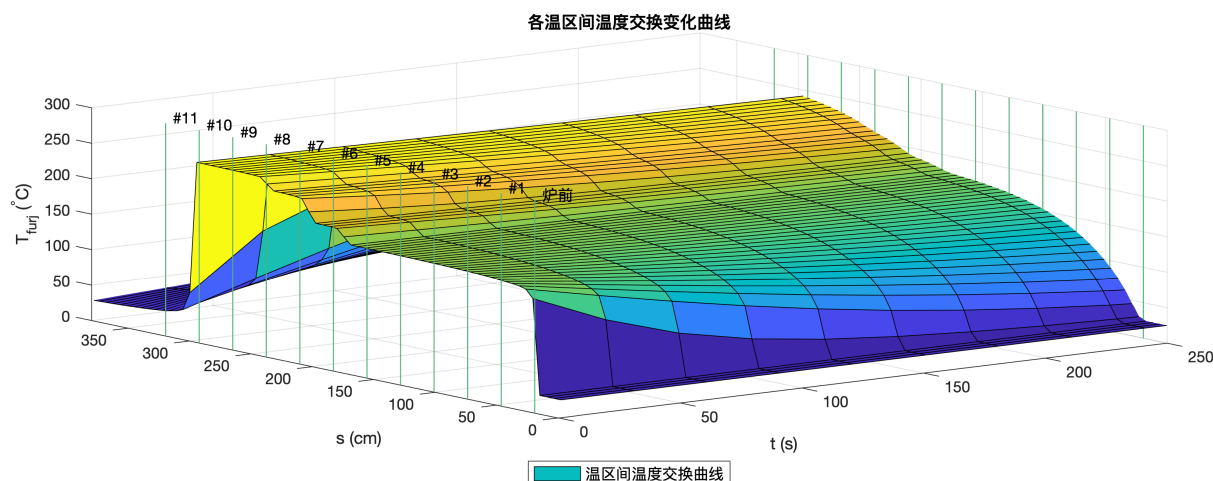


图 4: 温区间温度交换结果

示炉温的大致走向，引入炉温理想曲线的概念。即图中的红线为假设炉内温度不会受到旁边的温度的影响时的温度曲线，在实际计算中，使用的是上文提到的常微分方程计算。

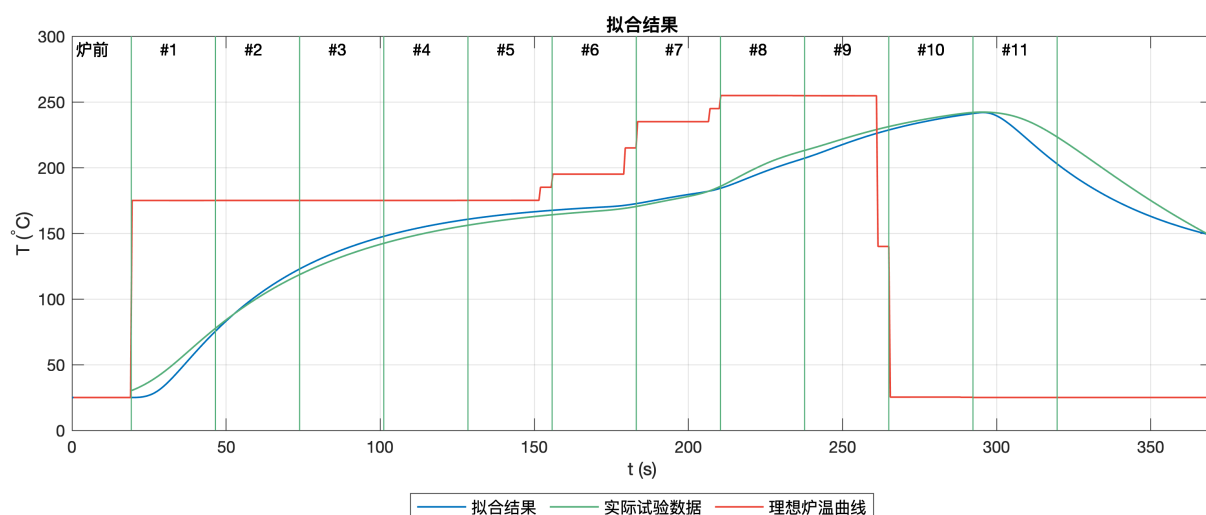


图 5: 拟合结果与实验结果

可以看到，该模型的拟合效果除了在最初升温阶段和后期的降温阶段以外，中间的拟合效果比较理想。考虑到我们在模型中极大地简化了炉间空气的交换流程，这样的结果已经可以接受。数值化地，我们根据参数拟合的结果计算了拟合数据与试验数据的均方差 $R^2 = 0.9212$ ，可以认为该模型具有较好的拟合效果。

3.1.3 方程求解

为了求解上述微分方程的数值解，可以使用 MATLAB 的 `pdepe` 函数求解。

考虑一般的情况，为了让 MATLAB 能够求解上述微分方程，首先需要将微分方程转换成以下标准形式：

$$c\left(x, t, u, \frac{\partial u}{\partial x}\right) \frac{\partial u}{\partial t} = x^{-m} \frac{\partial}{\partial x} \left(x^m f\left(x, t, u, \frac{\partial u}{\partial x}\right) \right) + s\left(x, t, u, \frac{\partial u}{\partial x}\right)$$

需要得到标准微分方程中的系数 m, c, f, s 。改写热量控制方程 \mathcal{H} 为标准形式如下：

$$\frac{\rho c}{\lambda} \frac{\partial T}{\partial t} - x^0 \frac{\partial}{\partial x} (x^0 \frac{\partial T}{\partial x}) = 0$$

对应标准形式求得标准 PDE 系数为：

$$\begin{cases} m = 1 \\ c(x, t, u, \frac{\partial u}{\partial x}) = 1 \\ f(x, t, u, \frac{\partial u}{\partial x}) = \frac{\partial u}{\partial x} \\ s(x, t, u, \frac{\partial u}{\partial x}) = 0 \end{cases}$$

此外对于边界条件和初始条件，标准形式为：

$$p(x, t, u) + q(x, t) f\left(x, t, u, \frac{\partial u}{\partial x}\right) = 0$$

将 \mathcal{H} 的边界条件和初始条件化为标准形式得：

$$\begin{cases} \lambda \frac{\partial T}{\partial x}(0, t) + h(T_{fur}(t) - T(0, t)) = 0 \\ \lambda \frac{\partial T}{\partial x}(\alpha, t) + h(T(\alpha, t) - T_{fur}(t - \frac{\alpha}{t})) = 0 \\ T(x, 0) = T_{env} = 25^\circ \text{C} \end{cases}$$

对应得到各个参数的情况如下：

$$\begin{cases} m = 0 \\ c(x, t, u, \frac{\partial u}{\partial x}) = \frac{\rho c}{\lambda} \\ s(x, t, u, \frac{\partial u}{\partial x}) = 0 \\ f(x, t, u, \frac{\partial u}{\partial x}) = \frac{\partial T}{\partial x} \end{cases}$$

得到标准形式 PDE 系数后即可使用 MATLAB 得到偏微分方程的数值解，用于后续的拟合和预测。

3.2 解答结果

根据拟合所得到的偏微分方程参数，使用有限元差分法，以步长 dt 为 0.5 s 进行计算，得到偏微分方程的数值解。题目中要求的几个特殊点的温度如表 3 所示。整次预测中每一时刻元件温度的详细结果文件见附件中的 `result.csv`。

位置	x / cm	t / s	T / °C
小温区 3 中点	101.25	77.88	134.9095
小温区 6 中点	192.75	148.27	172.9624
小温区 7 中点	223.25	171.13	180.1546
小温区 8 结束处	269.00	206.92	203.7561

表 3: 部分位置的焊接点温度

预测的完整结果可视化地绘制成图像结果如图 6 所示。

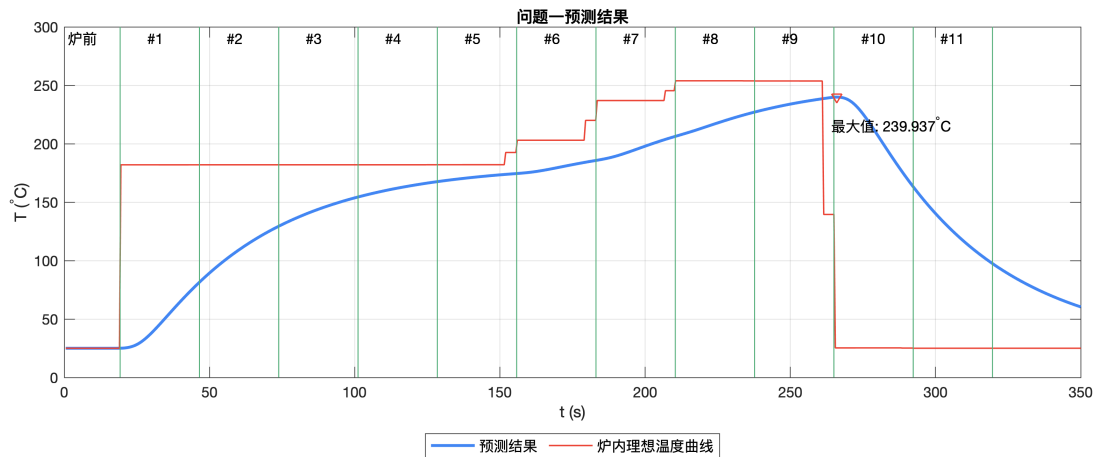


图 6: 问题一：焊接部分的温度曲线

4 问题二

4.1 问题分析

4.1.1 制程界限的数学表达

流程给出的四个制程的条件限制如表 4 所示。

界限名称	最低值	最高值	单位
温度上升斜率	0	3	°C/s
温度下降斜率	-3	0	°C/s
温度上升过程中在 150°C-190°C 的时间	60	120	s
温度大于 217°C 的时间	40	90	s
峰值温度	240	250	°C

表 4: 制程界限

条件规定了元件在全过程中的温度变化情况，以及特定区域的持续时间。我们通过每次迭代后依次计算 PDE 数值解的梯度和对应温区的持续时间，于是将约束条件形式化地改写如下：

$$\begin{cases} -3 \leq \frac{dT}{dt} \leq 3 \\ 60 \leq t_{150^{\circ}\text{C} \leq T \leq 190^{\circ}\text{C}} \leq 120 \\ 40 \leq t_{T \geq 217^{\circ}\text{C}} \leq 90 \\ 240 \leq T_{\max} \leq 250 \end{cases}$$

4.1.2 拟合与迭代

由于传送带速度 v 的取值范围为 $[65, 100]$ ，且需要找到同时满足以上条件的最大值，所以考虑从 100 cm/min 往 65 cm/min 按照 0.1 的步长进行迭代，依次判读新拟合出的函数 $T(t)$ 是否满足上述约束条件。找到一个可行解之后，继续以 0.02 或者 0.01 的步长迭代，如此反复，最终得到一个较为精确的可行最大速度 v_{max} 。对于 cm/min 的速度单位和尺度而言，保留 2 位小数（即进行三次迭代）即能得到较高精度。

4.2 解答结果

先利用步长 0.5 cm/min ，从 100 cm/min 的速度逐渐递减。该过程可以得到以下速度与各指标（最大梯度、最小梯度、升温时间、高温时间、峰值温度）趋势如图 7 所示。完整的结果参考附件中的 Q2_Trend.csv。其内包含有的传送速度和指定温度条件下，所有满足条件的解析。

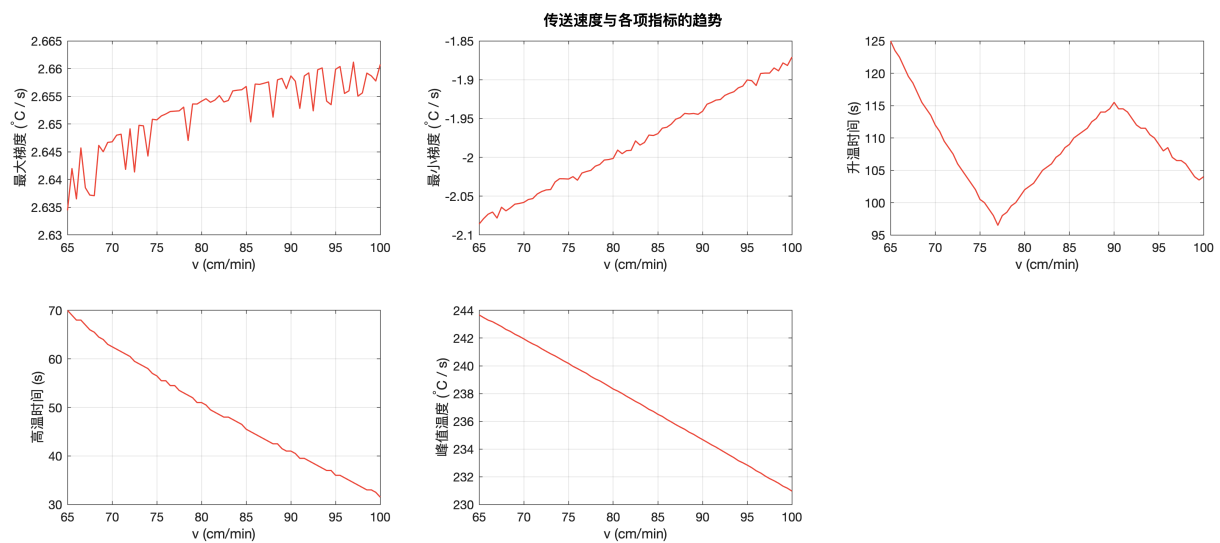


图 7: 传送速度与各项指标的趋势（粗粒度）

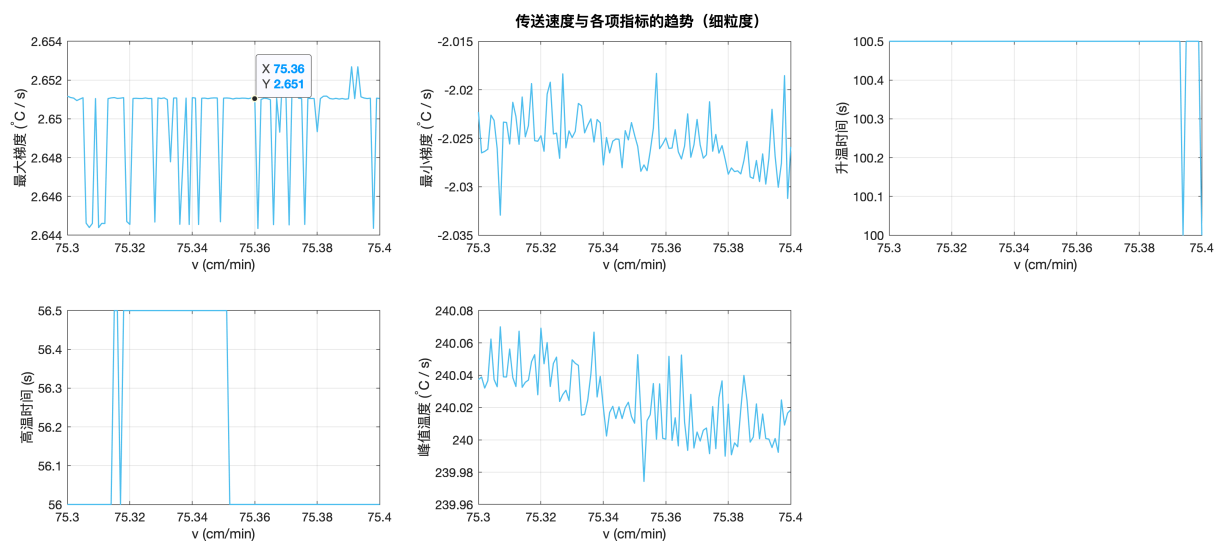


图 8: 传送速度与各项指标的趋势（细粒度）

于是可以发现在 65 cm/min 到 100 cm/min 之间的粗粒度计算，满足的最大速度在 76 cm/min 附近，于是我们在 76 cm/min 至 74 cm/min 以步长为 0.1 cm/min 逼近最大值，再以 75.4 cm/min 至 75.3 cm/min 以步长为 0.01 cm/min 逼近最大值。细粒度逼近的可视化结果如图 8 所示。

经过上述方法的计算，我们得到能够**满足以上所有制程限制条件的最大传送速度为 75.3520 cm/min**。

5 问题三

5.1 问题分析

5.1.1 目标函数

目标优化函数 $\mathcal{A} = \mathcal{F}(T_{fur_j}, v)$ ，物理意义为目标区域面积，其中：

$$T_{fur_j} = [T_{fur_{1-5}} \quad T_{fur_6} \quad T_{fur_7} \quad T_{fur_{8-9}}]$$

冷却区域设定温度 $T_{fur_{10-11}}$ 温度固定为 25 摄氏度，不纳入优化。

目标函数的优化可以形式化地写为

$$(\hat{T}_{fur}, \hat{v}) = \arg \min \mathcal{A}$$

5.1.2 迭代优化算法

使用 brute force 算法，枚举 4 个温区的温度和传送带速度，使用问题一中的模型，利用 T_{fur_j} 指定温度参数，计算出焊接区域的温度曲线，再依次审核制程界限，若不符合任意一条要求则不保留结果。对于满足制程界限的参数，计算积分面积 \mathcal{A} 。具体地讲，考虑从 165°C 到 185°C 枚举小温区 1-5 的温度；从 185°C 到 205°C 枚举小温区 6 的温度；从 225°C 到 245°C 枚举小温区 7 的温度；从 245°C 到 265°C 枚举小温区 8-9 的温度；从 65 cm/min 到 100 cm/min 枚举传送带过炉速度。一个典型的问题在于，直接小步长枚举复杂度过高，不能接受。多次测试发现，当参数调整后，答案的变化应该是连续的。所以考虑可以先大步长枚举所有参数情况，得到最有解的大致范围，然后再在最优解左右两侧延拓后的区间以小步长枚举，得到精确的最优解。

5.2 解答结果

记步长为 dv ，参数矩阵为 $[v, T_{fur_{1-5}}, T_{fur_6}, T_{fur_7}, T_{fur_{8-9}}, T_{fur_{10-11}}, \mathcal{A}]$

在第一次粗粒度查找中，设置 $dv = 3$ ，遍历得到如下参数矩阵：

$$[v, T_{fur_{1-5}}, T_{fur_6}, T_{fur_7}, T_{fur_{8-9}}, T_{fur_{10-11}}, \mathcal{A}] = [95, 183, 200, 240, 263, 25, 401.7657]$$

第一次粗粒度查找的结果如图 9 所示。为了便于展示，横坐标只绘制了 v 和 T_{fur_1} 参数和阴影面积 \mathcal{A} 表面的情况。

我们在最优结果的参数值上下浮动 3，即令在下一轮遍历中，各参数的取值范围为

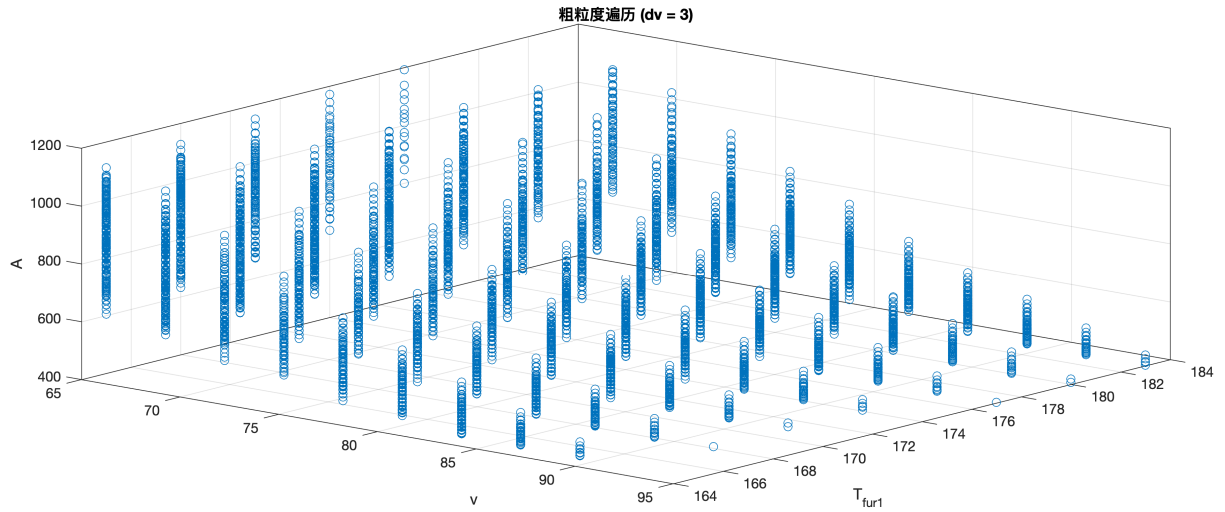


图 9: $T_{fur_1} - v - \mathcal{A}$ 优化结果 (粗粒度)

$$\begin{cases} v \in [92, 98] \\ T_{fur_{1-5}} \in [180, 186] \\ T_{fur_6} \in [197, 203] \\ T_{fur_7} \in [237, 243] \\ T_{fur_{8-9}} \in [260, 265] \end{cases}$$

接下来在 \mathcal{A} 具备最小值的附近进行中粒度遍历。设置 $dv = 1$ ，遍历得到具备最小 \mathcal{A} 时的参数矩阵为：

$$[v, T_{fur_{1-5}}, T_{fur_6}, T_{fur_7}, T_{fur_{8-9}}, T_{fur_{10-11}}, \mathcal{A}] = [98, 182, 203, 243, 264, 25, 393.5364]$$

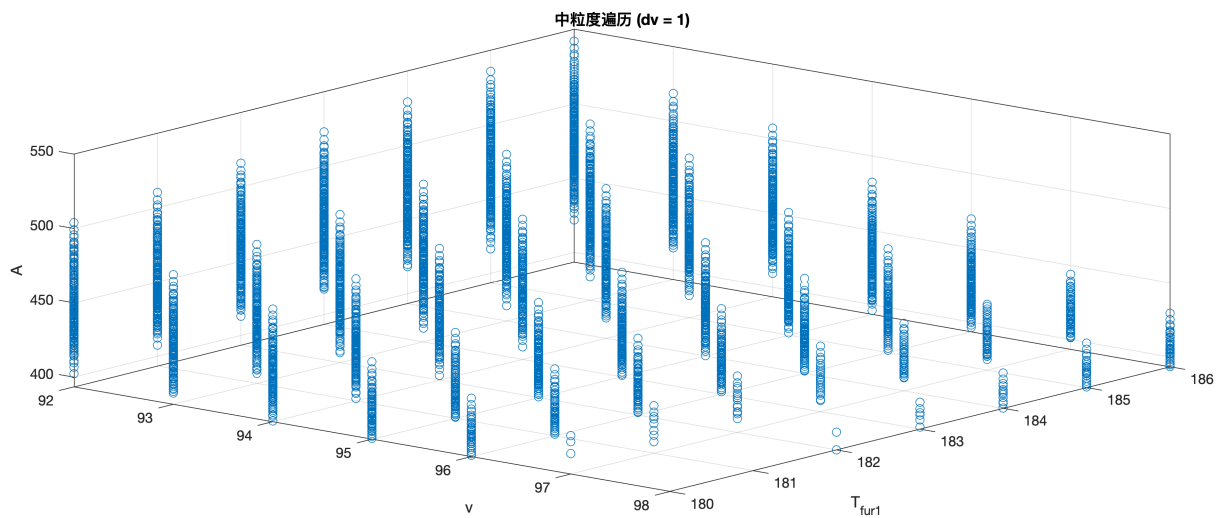


图 10: $T_{fur_1} - v - \mathcal{A}$ 优化结果 (中粒度)

此时可视化的结果如图 10 所示。进一步地进行细粒度查找，以得到更精确的参数值。我们在拟合的结果上下浮动 0.6，并将步长缩小至 0.3，在具备最低值的各个参数附近值进行遍历。此时遍历范围为 $2 * dv = 0.6$ 。各参数的取值范围为：

$$\begin{cases} v \in [97.4, 98.6] \\ T_{fur_{1-5}} \in [181.4, 182.6] \\ T_{fur_6} \in [202.4, 203.6] \\ T_{fur_7} \in [242.4, 243.6] \\ T_{fur_{8-9}} \in [263.4, 264.6] \end{cases}$$

在第三次粗粒度查找中，设置更小的步长 $dv = 0.3$ 。经过遍历，此时的优化结果如图 11 所示。

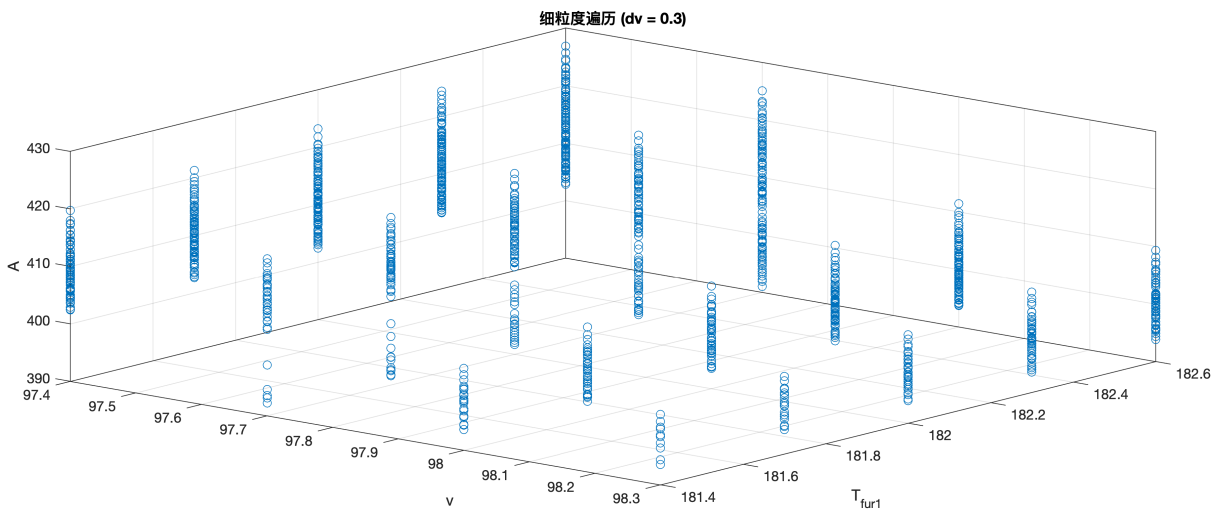


图 11: $T_{fur_1} - v - \mathcal{A}$ 优化结果（细粒度）

得到最优参数矩阵如下：

$$[v, T_{fur_{1-5}}, T_{fur_6}, T_{fur_7}, T_{fur_{8-9}}, T_{fur_{10-11}}, \mathcal{A}] = [97.7, 182.6, 203.0, 242.4, 263.7, 25, 391.0421]$$

最终，我们可以得到阴影区域的最小面积 \mathcal{A} 为 391.0421，这时传送带的速度为 97.7 cm/min，各个温度区的温度分别为： $T_{fur_{1-5}} = 182.6^\circ\text{C}$, $T_{fur_6} = 203.0^\circ\text{C}$, $T_{fur_7} = 242.4^\circ\text{C}$, $T_{fur_{8-9}} = 263.7^\circ\text{C}$, $T_{fur_{10-11}} = 25^\circ\text{C}$ 。

6 * 问题四

6.1 问题分析

6.1.1 目标函数

沿袭问题三的思路，有峰值左侧的区域面积为 $\mathcal{A} = \mathcal{F}(T_{fur_j}, v)$ ，再设峰值右侧的区域面积为 $\mathcal{B} = \mathcal{F}(T_{fur_j}, v)$ ，其中各参数仍然有：

$$T_{fur_j} = [T_{fur_{1-5}} \quad T_{fur_6} \quad T_{fur_7} \quad T_{fur_{8-9}}]$$

冷却区域设定温度 $T_{fur_{10-11}}$ 温度固定为 25 摄氏度，不纳入优化。

考虑评价指标。要在问题 3 限制下使得 217 °C 到峰值温度左右两侧的温度尽可能对称，我们可以用右侧函数以 $t = t_{peak}$ 轴对称的函数 f_R 和峰值温度左侧的函数 f_L 做分析，计算其方差。为问题 3 再增加一个优化条件，目标为使得方差 R^2 尽可能的小。目标函数的优化可以形式化地写成：

$$(\hat{T}_{fur}, \hat{\vartheta}) = \arg \min (\mathcal{A} - \mathcal{B})^2$$

通过不断调整参数来使 R^2 尽可能小。

6.1.2 迭代优化算法

仍然考虑使用 brute-force 算法，枚举四个温区的温度和传送带速度，检验制程界限，舍去不满足条件的参数元组。对于符合制程界限的参数元组，维护差值平方的最小值，利用迭代优化算法，设定恰当的大小步长，逐步迭代逼近最终解。

6.2 解答结果

由于时间限制，仅对此问题做了分析，未得出答案与实现。

7 分析与结论

本文完成了「炉温曲线」问题中的问题一、问题二、问题三。

问题一 问题一基于非稳态传热模型，分析了两个维度的温度变换：炉内空气和炉内的热对流；以及基于牛顿冷却定律的炉子与炉子之间温度的互相影响。通过构件热力学偏微分方程并利用其数值解拟合实际试验数据，得到了元件导热系数 λ 和空气的对流换热系数 h ，取得了较好的拟合效果。

问题二 在问题一构建的模型基础上，我们采取了两次迭代，从允许的最大速度开始依次向下预测元件的炉温曲线，并审核其制程界限。在已知的界限范围内部继续递归缩小步长，找到能够满足制程界限的最大温度，得到结果。

问题三 使用迭代优化法，使用微分法近似计算题目要求部分的阴影面积，将计算结果的最小化作为优化函数 $\mathcal{A} = \mathcal{F}(T_{fur_j}, v)$ 的目标。对优化函数的五个参数先进行粗粒度的遍历，找到全局的最优解的取值范围，再在全局最优范围附近缩小步长，递归遍历。经过三次迭代，找到了精确到一位小数的全局最优解。

本模型已经考虑了对流传热及炉间温度传导的情况，利用偏微分方程的数值解能够较好地拟合实际试验的炉温曲线，在利用其它参数预测炉温曲线时也取得了较合理的结果。不过模型仍有可以改进之处，例如对于炉与炉缝隙处的温度传导过程，我们简化为了简单的左右瞬时温度的算术平方根，有不科学之处。如果能够将这部分的热量交换考虑进热量控制方程中，模型在炉后区域的温度下降阶段应当能够取得更好的结果。

此外，在模型构建中我们直接估计元件的长度为 3cm，进行所有的参数拟合。但实际这一参数题目并未给出，可以考虑将元件的长度也作为拟合参数加入最小二乘法的计算中，也有进一步提高拟合效果的可能性。

8 附录

8.1 源代码

本模型基于 MATLAB 实现，以下代码在 macOS 环境和 Windows 环境下的 MATLAB R2020a 版本成功运行。

TPDEFit.m 用于拟合偏微分方程。

```
1
2 %% 使用最小二乘法拟合 lambda 和 h
3
4 global TfurCalced;
5 TfurCalced = false;
6 lambdaguess = 50;
7 hguess = 1500;
8 thetaguess = 10;
9 dt = 0.5;
10 % 优化参数
11 options=optimset('TolX',1e-5,'TolFun',1e-5,'MaxFunEvals',1200,'Display','iter');
12 expdata = xlsread('temp.xlsx');
13 t = 19:0.5:373; % 生成横向坐标
14 xdata = expdata(:,1);
15 xdata = (xdata - 19) * 2 + 1;
16 ydata = expdata(:,2);
17
18 % LSQ
19 [coef,~, residual] = lsqcurvefit(@(para, data) PDF_for_fitting(para, data), ...
20     [lambdaguess, hguess, thetaguess], xdata, ydata, [30 1000 0], [100 5000 100], options);
21
22 lambdafit = coef(1)
23 hfit = coef(2)
24 thetafit = coef(3)
25 function r = PDF_for_fitting(params, x)
26 %% 用于拟合的 PDF 函数
27     res = TPDESolve(params(1), params(2), params(3), 70); % 70 = Velocity
28     sol = res(:,15);
29     sol = sol(19:728);
30     r = sol(x);
31 end
```

TPDESolve.m 用于计算偏微分方程。

```
1 function [result] = TPDESolve(lambdaguess, hguess, thetaguess, velocity)
2 %% 使用 pdepe 求解元件温度的微分方程
3 % 参数配置
4 Tenv = 25; % 环境温度
5 V = velocity; % 传送速度
6 alpha = 3.2; % 物体长度 cm
7
8 % 物理参数
9 rho = 7.874; % 密度
10 C = 480; % 比热容
11 lambda = lambdaguess; % 导热系数
12 % h = lambda / (alpha / 100);
13 h = hguess; % 对流换热系数;
14 x = linspace(0, alpha, 30);
15 t = linspace(0, 400, 800);
16 m = 0;
17
18 sol = pdepe(m, @TPDE, @TPDE_IC, @TPDE_BC, x, t);
19 hold ;
20 grid on;
21 plot(t, sol(:,15), 'LineWidth', 1)
22 title('PDE 数值解');
23
24 result = sol;
25 %% PDF
26 % PDE 方程
27 function [c, f, s] = TPDE(x, t, T, dudx)
28     % 转换为标准 PDE
29     c = rho * C / lambda;
30     f = dudx;
31     s = 0;
32 end
33
34 % PDE 初始条件
35 function T0 = TPDE_IC(x)
36     % Initial Condition
37     T0 = Tenv;
38 end
39
40 % PDE 边界值
41 function [pl, ql, pr, qr] = TPDE_BC(xl, ul, xr, ur, t)
42     pl = h * Tfur2D(t, ul, thetaguess, V) - h * ul;
43     ql = lambda;
44     pr = h * ur - h * Tfur2D(t - alpha / V, ur, thetaguess, V);
45     qr = lambda;
```

```
46     end
47 end
```

Tfur2D.m 用于计算炉内温度。

```
1 function [tfur] = Tfur(t, m, theta, velocity)
2 global Tfurdata;
3     furnaceLength = 30.5; % 熔炉长度
4     furnaceGap = 5; % 熔炉间隙
5     edgeGap = 25; % 炉前与炉后
6     if (nargin < 4)
7         % 指定默认速度
8         V = 70;
9     else
10        V = velocity; % 速度, cm/min
11    end
12    tempEnv = 25; % 环境温度
13
14    % 附件 - 拟合实验温区温度配置
15    %     t1 = 175;
16    %     t2 = 195;
17    %     t3 = 235;
18    %     t4 = 255;
19    %     t5 = 25;
20
21    % Q1 - 预测温区温度配置
22    %     t1 = 173;
23    %     t2 = 198;
24    %     t3 = 230;
25    %     t4 = 257;
26    %     t5 = 25;
27
28    % Q2 - 制程界限温区温度配置
29    t1 = 182;
30    t2 = 203;
31    t3 = 237;
32    t4 = 254;
33    t5 = 25;
34
35    hf = 1e-4; % 炉间温度传播系数
36    if t < 0.5
37        t = 0.5;
38    end
39
40    tempMat = TfurNew([tempEnv, t1, t2, t3, t4, t5], hf);
41    distance = V / 60 * t + (furnaceLength + furnaceGap - edgeGap);
```

```
42     furnaceTemp = tempMat(ceil(t * 2), 1:13);
43     fCount = ceil(distance / (furnaceLength + furnaceGap));
44     fCount(fCount < 1) = 1;
45     dd = distance - (furnaceLength + furnaceGap) * (fCount - 1);
46     if(fCount < 11)
47         if dd <= furnaceLength
48             tfur = furnaceTemp(fCount);
49         else
50             tfur = (furnaceTemp(fCount) + furnaceTemp(fCount + 1)) / 2;
51         end
52     else
53         tfur = furnaceTemp(11);
54     end
55     if(fCount > 10)
56         tfur = theta * nthroot((m - tfur), 3) + tfur;
57     end
58     Tfurddata(ceil(t * 2))= tfur;
59 end
```

Tfur.m 理想炉温曲线。

```
1 function [tfur] = Tfur(t)
2     furnaceLength = 30.5; % 熔炉长度
3     furnaceGap = 5; % 熔炉间隙
4     edgeGap = 25; % 炉前与炉后
5     V = 78; % 速度, cm/min
6
7     tempEnv = 25; % 环境温度
8     t1 = 175; % 附件 - 拟合实验温区温度配置
9     t2 = 195;
10    t3 = 235;
11    t4 = 255;
12    t5 = 25;
13    hf = 0.00002; % 炉间温度传播系数
14
15    if t < 0.5
16        t = 0.5;
17    end
18
19    tempMat = TfurNew([tempEnv, t1, t2, t3, t4, t5], hf);
20    distance = V / 60 * t - edgeGap;
21    furnaceTemp = tempMat(ceil(t * 2), 2:12);
22    if distance < 0
23        tfur = tempEnv;
24    return
25 end
```

```
26     fCount = ceil(distance / (furnaceLength + furnaceGap));
27     fCount(fCount < 1) = 1;
28     dd = distance - (furnaceLength + furnaceGap) * (fCount - 1);
29     if(fCount < 11)
30         if dd <= furnaceLength
31             tfur = furnaceTemp(fCount);
32         else
33             tfur = (furnaceTemp(fCount) + furnaceTemp(fCount + 1)) / 2;
34         end
35     else
36         tfur = furnaceTemp(11);
37     %     tfur = 25;
38     end
39 end
```

TfurNew.m 用于计算炉内空气温度的动态变化。

```
1 function [tfur] = TfurNew(mat, h)
2 %% 考虑炉间热量传导的情况
3 % if exist('dp.mat', 'file')
4 %     load 'dp.mat' 'dp';
5 %     tfur = dp;
6 %     return;
7 % end
8 global dp;
9 global TfurCalced;
10
11 if TfurCalced
12     tfur = dp;
13     return;
14 end
15 % 13 * 800 矩阵
16 tfur = zeros(800, 13);
17 dp = zeros(800, 13);
18 for i = 1 : 13
19     if i == 1
20         dp(1, i) = mat(1);
21     elseif i <= 6
22         dp(1, i) = mat(2);
23     elseif i == 7
24         dp(1, i) = mat(3);
25     elseif i == 8
26         dp(1, i) = mat(4);
27     elseif i <= 10
28         dp(1, i) = mat(5);
29     else
```

```
30         dp(1, i) = mat(6);
31     end
32 end
33 for i = 2 : 800
34     for j = 1 : 13
35         if j == 1
36             dp(i, j) = dp(i - 1, j) - h * nthroot((dp(i - 1, j) - dp(i - 1, j + 1)), 3);
37         elseif j <= 12
38             dp(i, j) = dp(i - 1, j) - h * nthroot((dp(i - 1, j) - dp(i - 1, j + 1)), 3) - h *
                 ↪ nthroot((dp(i - 1, j) - dp(i - 1, j - 1)), 3);
39         else
40             dp(i, j) = dp(i - 1, j) - h * nthroot((dp(i - 1, j) - dp(i - 1, j - 1)), 3);
41         end
42     end
43 end
44 tfur = dp;
45 TfurCalced = true;
46
47 end
```

Variables.m 用于存储模型常量。

```
1 %% 参数配置
2 global Tenv
3 global V
4 global alpha
5 global h
6 global rho
7 global c
8 global lambda
9 global furnaceLength
10 global furnaceGap
11 global edgeGap
12
13 furnaceLength = 30.5; % 熔炉长度
14 furnaceGap = 5; % 熔炉间隙
15 edgeGap = 25; % 炉前与炉后
16
17 Tenv = 25; % 环境温度
18 V = 70; % 传送速度
19 alpha = 3; % 物体长度
20
21 % 物理参数
22 h = 1500;
23 rho = 7.874;
24 c = 480;
```

```
25 lambda = 50;
```

Preview.m 用于预览拟合效果。

```
1 %% 设定温度曲线绘制
2
3 x = 0.5:0.5:400;
4 y = 1:800;
5 for i = 1:800
6     y(i) = Tfur(x(i));
7 end
8 % figure;
9 box on; grid on; hold on;
10 width = 900;
11 height = 350;
12 set(gcf,'position',[0,0,width,height])
13 red = '#EB4537';
14 green = '#55AF7B';
15 blue = '#4286F3';
16
17 title('拟合结果')
18 xlabel('t (s)')
19 ylabel('T (~{\circ}C)')
20
21 t = xlsread('temp.xlsx')
22 plot(t(:,1), t(:,2), 'Color', green, 'LineWidth', 1)
23 plot(x, y, 'Color', red, 'LineWidth', 1)
24
25 for i=1:11
26     lines = [lines, (25 + i * (furnaceLength + furnaceGap)) / (70 / 60)];
27 end
28
29 for i=1:12
30     line([lines(i) lines(i)], [0 300], 'linewidth', 0.7, 'color', green);
31     if i ~= 1
32         text(lines(i) - 18, 290,['#', num2str(i - 1)]);
33     else
34         text(lines(i) - 18, 290,['炉前']);
35     end
36 end
37
38 lgd = {'拟合结果', '实际试验数据', '理想炉温曲线'};
39 legend(lgd,'location','southoutside','NumColumns',3,'FontSize',10);
40 xlim([0 370])
41 exportgraphics(gcf,'pic/FitResult.png','Resolution',300)
42
```

```
43 saveas(gcf,['pic/', 'FurnacePreTemp', '.png'])
```

Q1_Predict.m 问题一的主要求解代码。

```
1 clf; close all;
2 %% 特定条件下的预测
3
4 % 预测得到的参数
5 lambda = 99.7964;
6 h = 1813.6;
7 theta = 21.2916;
8 V = 78;
9 sol = TPDESolve(lambda, h, theta, V);
10 res = sol(:,15);
11 lines = [25 / (V / 60)];
12
13 furnaceLength = 30.5; % 熔炉长度
14 furnaceGap = 5; % 熔炉间隙
15 edgeGap = 25; % 炉前与炉后
16
17 % 绘制炉
18 % figure;
19 width = 900; height = 350;
20 set(gcf, 'position', [0,0,width,height])
21 red = '#EB4537';
22 green = '#55AF7B';
23 blue = '#4286F3';
24 plot(0.5:0.5:400, res, 'LineWidth', 2, 'Color', blue);
25 grid on;
26 hold on;
27
28 % 温度曲线
29 x = 0.5:0.5:400;
30 y = 1:800;
31 for i = 1:800
32     y(i) = Tfur(x(i));
33 end
34 plot(x, y, 'Color', red, 'LineWidth', 1)
35
36 for i=1:11
37     lines = [lines, (25 + i * (furnaceLength + furnaceGap)) / (V / 60)];
38 end
39
40 for i=1:12
41     line([lines(i) lines(i)], [0 300], 'linewidth', 0.7, 'color', green);
42     if i ~= 1
```

```
43         text(lines(i) - 18, 290,['#', num2str(i - 1)]);
44     else
45         text(lines(i) - 18, 290,['炉前']);
46
47     end
48 end
49 title('问题一预测结果')
50 xlabel('t (s)');
51 ylabel('T (~{\circ}C)');
52
53 % Mark maximum.
54 amax = max(res);
55 tmax = find(res==amax) / 2;
56 plot(tmax,amax,'Color',red,'Marker','v','LineStyle','none','LineWidth',1);
57 text(tmax-2,amax*0.9,['最大值: ', num2str(amax), '~{\circ}C']);
58
59 lgd = {'预测结果', '炉内理想温度曲线'};
60 legend(lgd,'location','southoutside','NumColumns',2,'FontSize',10);
61 xlim([0, 350]);
62 exportgraphics(gcf,'pic/Q1.png','Resolution',300)
63
64
65
66 %% 3D Surface
67 figure;
68 t = 0.5:0.5:800;
69 % surf(1:10:300,t(1:10:800),sol(1:10:800,:));
70 surf(1:30:900,linspace(0,450,80),sol(1:10:800,:));
71
72 set(gcf,'position',[0,0,width,height])
73 title('各温区间温度交换变化曲线');
74 ylabel('s (cm)');
75 xlabel('t (s)');
76 zlabel('T_{furj} (~{\circ}C)');
77 xlim([0 250])
78 ylim([0 380])
79
80 for i=1:12
81     line([0 0], [lines(i) lines(i)], [0 300], 'linewidth', 0.7, 'color', green);
82     line([250 250], [lines(i) lines(i)], [0 300], 'linewidth', 0.7, 'color', green);
83
84     if i ~= 1
85
86         text(0, lines(i) - 6, 310,['#', num2str(i - 1)]);
87     else
88         text(0, lines(i) - 6, 310,['炉前']);
89
```



```
90     end
91 end
92
93 lgd = {'温区间温度交换曲线'};
94 legend(lgd,'location','southoutside','NumColumns',2,'FontSize',10);
95 exportgraphics(gcf,'pic/TempExchange.png','Resolution',300)
```

Q2_Restrain.m 问题二的主要求解代码。

```
1 % 从最大速度开始筛选
2 detail = [];
3 red = '#EB4537';
4 green = '#55AF7B';
5 blue = '#4286F3';
6 for vv = 75.4:-0.001:75.3
7 % for vv = 100:-0.5:65
8     out = vv
9 % 指定拟合的模型参数
10    lambda = 99.7964;
11    h = 1813.6;
12    theta = 21.2916;
13    sol = TPDESolve(lambda, h, theta, vv);
14    sol = sol(:,15);
15    restrains = {@RestrainDiff @RestrainRising @RestrainPeakTime @RestrainPeakTemp};
16    flag = 0;
17    [r1, dd(2), dd(3)] = RestrainDiff(sol);
18    [r2, dd(4)] = RestrainRising(sol);
19    [r3, dd(5)] = RestrainPeakTime(sol);
20    [r4, dd(6)] = RestrainPeakTemp(sol);
21
22    dd(1) = vv;
23    if ~r1
24        flag = 1;
25    end
26
27    if ~r2
28        flag = 2;
29    end
30
31    if ~r3
32        flag = 3;
33    end
34
35    if ~r4
36        flag = 4;
37    end
```

```
38     dd(7) = flag;
39     detail = [detail; dd];
40
41 end
42
43 writematrix(detail, 'Q2.csv');
44
45 %% 可视化
46 figure;
47 hold on;
48 grid on;
49 box on;
50
51 set(gcf, 'position', [0,0,1000,450])
52 subplot(2,3,1);
53 plot(detail(:,1), detail(:,2), 'Color', red, 'LineWidth', 1);
54 xlabel('v (cm/min)')
55 ylabel('最大梯度 ( $\circ$ C / s)');
56 subplot(2,3,2);
57 plot(detail(:,1), detail(:,3), 'Color', red, 'LineWidth', 1);
58 xlabel('v (cm/min)')
59 ylabel('最小梯度 ( $\circ$ C / s)');
60 subplot(2,3,3);
61 plot(detail(:,1), detail(:,4), 'Color', red, 'LineWidth', 1);
62 xlabel('v (cm/min)')
63 ylabel('升温时间 (s)');
64 subplot(2,3,4);
65 plot(detail(:,1), detail(:,5), 'Color', red, 'LineWidth', 1);
66 xlabel('v (cm/min)')
67 ylabel('高温时间 (s)');
68 subplot(2,3,5);
69 plot(detail(:,1), detail(:,6), 'Color', red, 'LineWidth', 1);
70 xlabel('v (cm/min)')
71 ylabel('峰值温度 ( $\circ$ C / s)');
72 exportgraphics(gcf, 'pic/Trend.png', 'Resolution', 300);
73
74
75 function [res, valueMax, valueMin] = RestrainedDiff(sol)
76 %% 斜率是否超过 3?
77     tdiff = 2 * diff(sol);
78     rising = tdiff(tdiff > 0);
79     descending = tdiff(tdiff < 0);
80     [rc, ~] = size(rising(rising > 3));
81     [dc, ~] = size(descending(descending < -3));
82     if rc ~= 0
83         sprintf("升温速度过大。")
84         res = false;
```

```
85         return;
86     end
87     if dc ~= 0
88         sprintf("降温速度过大。")
89         res = false;
90         return;
91     end
92     valueMax = max(tdiff);
93     valueMin = min(tdiff);
94     res = true;
95 end
96
97 function [res, value] = RestrainingRising(sol)
98 %% 升温时间是否符合要求?
99 % 只考虑升温过程
100 sol = sol(1:600);
101 count = sol(sol > 150 & sol < 190);
102 [t, ~] = size(count);
103 if t / 2 > 60 && t / 2 < 120
104     res = true;
105 else
106     res = false;
107     sprintf("升温时间不合要求。")
108 end
109 value = t / 2;
110 end
111
112
113 function [res, value] = RestrainingPeakTime(sol)
114 %% 高温时间是否符合要求?
115
116 count = sol(sol > 217);
117 [t, ~] = size(count);
118 if t / 2 > 40 && t / 2 < 90
119     res = true;
120 else
121     res = false;
122     sprintf("高温时间不合要求。")
123 end
124 value = t / 2;
125 end
126
127
128 function [res, value] = RestrainingPeakTemp(sol)
129 %% 峰值温度是否符合要求?
130 mt = max(sol);
131 if mt > 240 && mt < 250
```

```
132         res = true;
133     else
134         res = false;
135         sprintf("峰值温度不合要求。")
136     end
137     value = mt;
138 end
```

Q3_Optimize.m 问题三的主要求解代码。

```
1 Output = [];
2 OutputFail = [];
3
4 % 模型参数
5 lambda = 99.7964;
6 h = 1813.6;
7 theta = 21.2916;
8
9 % 优化参数
10 % V = 70;
11 % t1 = 175;
12 % t2 = 195;
13 % t3 = 240;
14 % t4 = 257;
15 % t5 = 25; % t5 恒定为 25
16
17 %% ROUND 1
18 % dt = 3;
19 % %
20 % Vb = [89 100];
21 % t1b = [165 185];
22 % t2b = [185 205];
23 % t3b = [225 245];
24 % t4b = [245 265];
25
26 %% ROUND 2
27 dt = 1;
28 Vb = [94 96];
29 t1b = [180 186];
30 t2b = [197 203];
31 t3b = [237 243];
32 t4b = [260 265];
33
34 % ROUND 3
35 dt = 0.15;
36 Vb = [98.3 98.6];
```

```
37 t1b = [181.4 182.6];
38 t2b = [202.4 203.6];
39 t3b = [242.4 243.6];
40 t4b = [263.4 264.6];
41
42 for V=Vb(1):dt:Vb(2)
43     for t1=t1b(1):dt:t1b(2)
44         for t2=t2b(1):dt:t2b(2)
45             for t3=t3b(1):dt:t3b(2)
46                 for t4=t4b(1):dt:t4b(2)
47                     [Aera, sol] = FF(lambda, h, theta, V, [t1 t2 t3 t4 t5]);
48                     [success, flag] = Restrain(sol(:,15));
49                     if success
50                         Output = [Output; [V, t1, t2, t3, t4, t5, Aera]];
51                     else
52                         OutputFail = [OutputFail; [V, t1, t2, t3, t4, t5, flag]];
53                     end
54                     disp([V t1 t2 t3 t4 success flag round(Aera)]);
55                 end
56             end
57         end
58     end
59 end
60
61 % 参数上下界
62 %% 优化目标函数
63 function [aera, sol] = FF(lambda, h, theta, V, mat)
64     sol = TPDESolveF0(lambda, h, theta, V, [mat(1) mat(2) mat(3) mat(4) mat(5)]);
65     aera = getAera(sol(:,15));
66     function res = getAera(sol)
67         peakTemp = max(sol);
68         peakTime = find(sol==peakTemp);
69         sol = sol(1:peakTime);
70         count = sol(sol > 217 & sol <= peakTemp);
71         [l,~] = size(count);
72         res = sum(count) / 2 - (l / 2) * 217;
73     end
74 end
75
76 %% 约束条件
77 function [success, flag] = Restrain(sol)
78     flag = 0;
79     [r1] = RestrainDiff(sol);
80     [r2] = RestrainRising(sol);
81     [r3] = RestrainPeakTime(sol);
82     [r4] = RestrainPeakTemp(sol);
83     if ~r1
```

```
84     flag = 1;
85 end
86 if ~r2
87     flag = 2;
88 end
89 if ~r3
90     flag = 3;
91 end
92 if ~r4
93     flag = 4;
94 end
95 if flag == 0
96     success = true;
97 else
98     success = false;
99 end
100 function [res, valueMax, valueMin] = RestrainedDiff(sol)
101 % 斜率是否超过 3?
102     tdiff = 2 * diff(sol);
103     rising = tdiff(tdiff > 0);
104     descending = tdiff(tdiff < 0);
105     [rc, ~] = size(rising(rising > 3));
106     [dc, ~] = size(descending(descending < -3));
107     if rc ~= 0
108         res = false;
109
110     end
111     %if dc ~= 0
112         % res = false;
113
114     %end
115     valueMax = max(tdiff);
116     valueMin = min(tdiff);
117     res = true;
118 end
119
120 function [res, value] = RestrainedRising(sol)
121 % 升温时间是否符合要求?
122 % 只考虑升温过程
123     sol = sol(1:600);
124     count = sol(sol > 150 & sol < 190);
125     [t, ~] = size(count);
126     if t / 2 > 60 && t / 2 < 120
127         res = true;
128     else
129         res = false;
130     end
```

```
131     value = t / 2;
132 end
133
134 function [res, value] = RestrainedPeakTime(sol)
135     % 高温时间是否符合要求?
136
137     count = sol(sol > 217);
138     [t, ~] = size(count);
139     if t / 2 > 40 && t / 2 < 90
140         res = true;
141     else
142         res = false;
143     end
144     value = t / 2;
145 end
146
147 function [res, value] = RestrainedPeakTemp(sol)
148     % 峰值温度是否符合要求?
149     mt = max(sol);
150     if mt > 240 && mt < 250
151         res = true;
152     else
153         res = false;
154     end
155     value = mt;
156 end
157 end
```

Plotter.m 用于绘制优化结果。

```
1 %% 寻找最小值
2
3 minRow = find(Output(:,7) == min(Output(:,7)));
4 Output(minRow,:)
5
6 %% 优化结果绘制
7 scatter3(Output(:,1), Output(:,2),Output(:,7));
8 view(40, 35);
9 set(gcf, 'position', [0,0,1000,400]);
10 box on;
11 grid on;
12 % title("粗粒度遍历 (dv = 3)");
13 % title("中粒度遍历 (dv = 1)");
14 title("细粒度遍历 (dv = 0.3)");
15 xlabel('v');
16 ylabel('T_{fur1}');
```

```

17  xlabel('A');
18  exportgraphics(gcf,'OROUND3.png','Resolution',300);

```

8.2 结果文件

result.csv 问题一的解答:

1	时间(s),温度(摄氏度)	71	34.500,49.9766820363965	142	70.124,395996345290	213	105.50,157.132110606820	284	141,171.308622668490
2	0.25	72	35.51,3636844129079	143	70.500,125.077364087062	214	106,157.424110347357	285	141.50,171.435916100469
3	0.525	73	35.500,52.7521159851482	144	71,125.749482881087	215	106.50,157.712900549240	286	142,171.561728563565
4	1.25,0.000000002737	74	36.54,1392987586635	145	71.500,126.412713645566	216	107,157.998542193704	287	142.50,171.686078032347
5	1.5000,25.0000000027697	75	36.500,55.5225547389999	146	72,127.067998321836	217	107.50,158.281096261984	288	143,171.808982481385
6	2.25,0.000000147783	76	37.56,8997481020511	147	72.500,127.715437773941	218	108,158.560623735318	289	143.50,171.930459885248
7	2.5000,25.0000109376896	77	37.500,58.2779064468243	148	73,128.355132865927	219	108.50,158.837185594941	290	144,172.050528218507
8	3.25,0.000218606008	78	38.59,6497898446136	149	73.500,128.987184461837	220	109,159.110842822089	291	144.50,172.169205455731
9	3.5000,25.0000327835121	79	38.500,61.0136467266850	150	74,129.611693425716	221	109.50,159.381656397998	292	145,172.286509571490
10	4.25,0.000437064234	80	39,62.3677255243048	151	74.500,130.228760621608	222	110,159.649687303904	293	145.50,172.402458540353
11	4.5000,25.0000546293347	81	39.500,63.7102746687393	152	75,130.838486913558	223	110.50,159.914996521043	294	146,172.517070336891
12	5.25,0.000655522459	82	40,65.0486904290100	153	75.500,131.440973165611	224	111,160.177645030652	295	146.50,172.63062935672
13	5.5000,25.0000764751572	83	40.500,66.3770429205360	154	76,132.036320241810	225	111.50,160.437693813966	296	147,172.742354311267
14	6.25,0.000873980685	84	41,67.6943715037984	155	76.500,132.624629006200	226	112,160.693261937585	297	147.50,172.853062438245
15	6.5000,25.0000983209798	85	41.500,68.9997397346458	156	77,133.206000322826	227	112.50,160.943241219877	298	148,172.962416606991
16	7.25,0.001092438911	86	42,70.2922111689269	157	77.500,133.780535055732	228	113,161.190275644736	299	148.50,173.07402019597
17	7.5000,25.0001465335839	87	42.500,71.5761084181703	158	78,134.348334068963	229	113.50,161.434407863456	300	149,173.177092089900
18	8.25,0.001838232767	88	43,72.8486327387099	159	78.500,134.909498226562	230	114,161.675680527331	301	149.50,173.282497901028
19	8.5000,25.0002211129696	89	43.500,74.1090430597860	160	79,135.464128392575	231	114.50,161.914136287655	302	150,173.386630536105
20	9.25,0.002584026624	90	44,75.3569163529188	161	79.500,136.012325431046	232	115,162.149817795723	303	150.50,173.489501078258
21	9.5000,25.0002956923552	91	44.500,76.5918295896288	162	80,136.554190206019	233	115.50,162.382767702827	304	151,173.591120610614
22	10.25,0.003329820481	92	45,77.8157534122866	163	80.500,137.089823581539	234	116,162.613028660262	305	151.50,173.691500216298
23	10.5000,25.0003702717409	93	45.500,79.0277025173891	164	81,137.619326421650	235	116.50,162.840643319322	306	152,173.790642428523
24	11.25,0.004075614337	94	46,80.22272063663173	165	81.500,138.142799590397	236	117,163.065654331301	307	152.50,173.888562333294
25	11.5000,25.0004448511266	95	46.500,81.4140994902194	166	82,138.660343951824	237	117.50,163.288104347493	308	153,173.985329044208
26	12.25,0.004821408194	96	47,82.5882164202441	167	82.500,139.172060369976	238	118,163.508036019192	309	153.50,174.080959909123
27	12.5000,25.0005263471963	97	47.500,83.7515166331817	168	83,139.678049708896	239	118.50,163.725491997692	310	154,174.175521683415
28	13.25,0.005745998678	98	48,84.9030331891921	169	83.500,140.178412832630	240	119,163.940514934286	311	154.50,174.269227418971
29	13.5000,25.0006265833630	99	48.500,86.0421838211457	170	84,140.673250605222	241	119.50,164.153147480269	312	155,174.362496719620
30	14.25,0.006823673214	100	49,87.1688838527103	171	84.500,141.161718514229	242	120,164.363432286935	313	155.50,174.45605941035
31	14.5000,25.0007420700437	101	49.500,88.2830486075533	172	85,141.640885715875	243	120.50,164.571412005577	314	156,174.550580480067
32	15.25,0.008058059695	102	50,89.3845934093423	173	85.500,142.114307150641	244	121,164.777129287490	315	156.50,174.64730091227
33	15.5000,25.0008736774747	103	50.500,90.4734335817447	174	86,142.582067053431	245	121.50,164.980626783968	316	157,174.747378345672
34	16.25,0.009444973978	104	51,91.5494844484282	175	86.500,143.044247499152	246	122,165.181947146304	317	157.50,174.851691670587
35	16.5000,25.0010195006578	105	51.500,92.6126613330602	176	87,143.500931102709	247	122.50,165.381133025793	318	158,174.961002157481
36	17.25,0.011012571675	106	52,93.6640603947093	177	87.500,143.952200479007	248	123,165.578227073729	319	158.50,175.075817807056
37	17.5000,25.0012693962684	107	52.500,94.7053555724001	178	88,144.398138242953	249	123.50,165.773271941405	320	159,175.196474185934
38	18.25,0.021959464443	108	53,95.7346893441542	179	88.500,144.838827009450	250	124,165.966310280116	321	159.50,175.324493528728
39	18.5000,25.002010632229	109	53.500,96.7520852002864	180	89,145.274349393405	251	124.50,166.157384741155	322	160,175.460308882688
40	19.25,0.0180887640338	110	54,97.7575666311116	181	89.500,145.678478800724	252	125,166.346537975816	323	160.50,175.604469246016
41	19.5000,25.0450112684105	111	54.500,98.7511571269447	182	90,146.130225473311	253	125.50,166.533753779100	324	161,175.756695496163
42	20.25,0.0955138549657	112	55,99.7328801781004	183	90.500,146.550744399072	254	126,166.715865140531	325	161.50,175.918351892951
43	20.5000,25.1777823197750	113	55.500,100.702729724894	184	91,146.966427401912	255	126.50,166.895825858087	326	162,176.088816000117
44	21.25,2984508049384	114	56,101.660817907639	185	91.500,147.377357096738	256	127,167.07366005783	327	162.50,176.268069117786
45	21.5000,25.4624697758199	115	56.500,102.607079566652	186	92,147.783616098453	257	127.50,167.249415657637	328	163,176.456096038443
46	22.25,6737213794105	116	57,103.543905047131	187	92.500,148.185287021965	258	128,167.423104887664	329	163.50,176.652907865309
47	22.5000,25.9363642359910	117	57.500,104.469953750461	188	93,148.582452482178	259	128.50,167.594763769882	330	164,176.856758195378
48	23.26,2555862337525	118	58,105.385128990116	189	93.500,148.975195093998	260	129,167.764422378306	331	164.50,177.068365293983
49	23.5000,26.6376069619147	119	58.500,106.289529425743	190	94,149.363597472329	261	129.50,167.932110786954	332	165,177.284869412884
50	24.27,0882408764163	120	59,107.183253716992	191	94.500,149.747742232079	262	130,168.097859069841	333	165.50,177.503839434768
51	24.5000,27.61270680006648	121	59.500,108.06400523509	192	95,150.127711988151	263	130.50,168.261697300984	334	166,177.728433056689
52	25.28,2142704102695	122	60,108.939068504943	193	95.500,150.503589355452	264	131,168.423655554400	335	166.50,177.958650278647
53	25.5000,28.8936713203521	123	60.500,109.801356320940	194	96,150.875456948887	265	131.50,168.583763904106	336	167,178.194491100642
54	26.29,6510998043214	124	61,110.653362631150	195	96.500,151.243397383361	266	132,168.742052424117	337	167.50,178.435955522674
55	26.5000,30.4832567842266	125	61.500,111.495496065642	196	97,151.607493273780	267	132.50,168.898551188450	338	168,178.676524787498
56	27.31,3860230672907	126	62,112.328041095056	197	97.500,151.967827235049	268	133,169.053290271122	339	168.50,178.917390618681
57	27.5000,32.3544569963148	127	62.500,113.150823763954	198	98,152.324481882074	269	133.50,169.206299746148	340	169,179.160965474056
58	28.33,3824995314981	128	63,113.963963184928	199	98.500,152.672963188353	270	134,169.357609687547	341	169.50,179.407249353625
59	28.5000,34.4665005597781	129	63.500,114.767578470567	200	99,153.016299499842	271	134.50,169.507250169333	342	170,179.656242257386
60	29.35,6005892045057	130	64,115.561788733461	201	99.500,153.355572535372	272	135,169.655251265525	343	170.50,179.907944185340
61	29.5000,36.7785739847711	131	64.500,116.346713086201	202	100,153.690843276178	273	135.50,169.801643050137	344	171,180.154592765544
62	30,37.9958590936096	132	65,117.122470641377	203	100.50,154.022172703497	274	136,169.946455597187	345	171.50,180.401237194586
63	30.5000,39.2473850474030	133	65.500,117.889180511580	204	101,154.349621798566	275	136.50,170.089718980691	346	172,180.648167427554
64	31.40,5280238669835	134	66,118.646951097377	205	101.50,154.673251542619	276	137,170.231463274665	347	172.50,180.895384975448
65	31.5000,41.8325580583534	135	66.500,119.395585640039	206	102,154.993122916892	277	137.50,170.371718553126	348	173,181.142889838268
66	32.43,1585085659515	136	67,120.135428725067	207	102.50,155.309296902623	278	138,170.510514890091	349	173.50,181.389699405804
67	32.5000,44.5012539822777	137	67.500,120.866589811754	208	103,155.621834481047	279	138.50,170.647882359576	350	174,181.632380603231
68	33.45,8561053365349	138	68,121.589178359392	209	103.50,155.930796633400	280	139,170.783851035598	351	174.50,181.8773844694280
69	33.5000,47.2231034123935	139	68.500,122.303303827272	210	104,156.236244340917	281	139.50,170.917676813554	352	175,182.114091678951
70	34.48,5974816805724	140	69,123.009075674687	211	104.50,156.538238584836	282	140,171.049520999602		

355	176.50,182.826578382634	425	211.50,207.123091080129	495	246.50,232.175168424863	565	281.50,217.454007775224	635	316.50,165.714152597831
356	177,183.059402755334	426	212,207.489219317882	496	247,232.435449303072	566	282,216.453708785057	636	317,165.228697893923
357	177.50,183.290231173361	427	212.50,207.855809301513	497	247.50,232.69253947306	567	282.50,215.456016427598	637	317.50,164.749436030964
358	178,183.519063636715	428	213,208.223525282838	498	248,232.946248357563	568	283,214.460930702847	638	318,164.276367008955
359	178.50,183.745900145395	429	213.50,208.592876193525	499	248.50,233.197126533844	569	283.50,213.468691925036	639	318.50,163.809490827894
360	179,183.970293486327	430	214,208.964533705588	500	249,233.444630476149	570	284,212.491644780127	640	319,163.348807487782
361	179.50,184.192257478084	431	214.50,209.338770579828	501	249.50,233.688940184477	571	284.50,211.520271666459	641	319.50,162.894316988620
362	180,184.411798166202	432	215,209.716652601163	502	250,233.930055658829	572	285,210.554572584033	642	320,162.446019330406
363	180.50,184.629058613201	433	215.50,210.098267516738	503	250.50,234.167976899204	573	285.50,209.594547532848	643	320.50,161.997406092602
364	181,184.844046182092	434	216,210.484206688341	504	251,234.402703905604	574	286,208.640196512903	644	321,161.553169062267
365	181.50,185.056929587944	435	216.50,210.874206245114	505	251.50,234.634236678027	575	286.50,207.691519524200	645	321.50,161.114166592167
366	182,185.268150567089	436	217,211.268279263037	506	252,234.862575216473	576	287,206.748516566738	646	322,160.680398682300
367	182.50,185.478573103220	437	217.50,211.666431020494	507	252.50,235.087719520944	577	287.50,205.817229666130	647	322.50,160.251865332666
368	183,185.689485993355	438	218,212.068661517486	508	253,235.309669591438	578	288,204.896012114046	648	323,159.828566543266
369	183.50,185.902331774029	439	218.50,212.473412212959	509	253.50,235.528425427956	579	288.50,203.982615523624	649	323.50,159.410502314100
370	184,186.119132292278	440	219,212.880611041420	510	254,235.743987030497	580	289,203.077039894865	650	324,158.997672645167
371	184.50,186.341526684594	441	219.50,213.290906851884	511	254.50,235.956354399062	581	289.50,202.179285227769	651	324.50,158.590077536468
372	185,186.570780898419	442	220,213.704299644351	512	255,236.165527533651	582	290,201.289351522335	652	325,158.187716988003
373	185.50,186.808047901964	443	220.50,214.118835285052	513	255.50,236.327267392624	583	290.50,200.407238778564	653	325.50,157.790590999771
374	186,187.054108811533	444	221,214.532959924775	514	256,236.57829819705	584	291,199.534293677060	654	326,157.398699571773
375	186.50,187.309977357334	445	221.50,214.948398475814	515	256.50,236.781260765516	585	291.50,198.671980346659	655	326.50,157.012042704008
376	187,187.576924477687	446	222,215.365150938170	516	257,236.98160230056	586	292,197.818403348001	656	327,156.630620396477
377	187.50,187.856213455733	447	222.50,215.782008976051	517	257.50,237.179468213325	587	292.50,196.973562681086	657	327.50,156.253732571246
378	188,188.149255044717	448	223,216.195943431617	518	258,237.374714715323	588	293,196.137458345913	658	328,155.879545719961
379	188.50,188.456197004214	449	223.50,216.609299725416	519	258.50,237.567389736050	589	293.50,195.310090342483	659	328.50,155.509783062552
380	189,188.776671462004	450	224,217.022077857448	520	259,237.757951450744	590	294,194.491458670796	660	329,155.144387082806
381	189.50,189.111370451065	451	224.50,217.433538425281	521	259.50,237.946452134270	591	294.50,193.681572271877	661	329.50,154.783300264510
382	190,189.459971315888	452	225,217.836993162444	522	260,238.132819220201	592	295,192.880577192671	662	330,154.426465091451
383	190.50,189.821717115129	453	225.50,218.238384182577	523	260.50,238.317012407773	593	295.50,192.088357270545	663	330.50,154.073824047414
384	191,190.195564736937	454	226,218.637711485681	524	261,238.499036882608	594	296,191.304912505498	664	331,153.725319616187
385	191.50,190.582178468896	455	226.50,219.034975071754	525	261.50,238.67890268645	595	296.50,190.530242897531	665	331.50,153.380894281556
386	192,190.978247449414	456	227,219.430174940798	526	262,238.856642479729	596	297,189.764348446643	666	332,153.040490527307
387	192.50,191.384089680318	457	227.50,219.823311092812	527	262.50,239.032274485539	597	297.50,189.007229152834	667	332.50,152.704050837228
388	193,191.798559707274	458	228,220.214383527796	528	263,239.205670172027	598	298,188.258885016105	668	333,152.371517695105
389	193.50,192.212671182018	459	228.50,220.603392245751	529	263.50,239.375746639767	599	298.50,187.51598399043	669	333.50,152.042833584723
390	194,192.633589752347	460	229,220.990337246675	530	264,239.538956719386	600	299,186.780231188559	670	334,151.717940998971
391	194.50,193.061315418262	461	229.50,221.37334774385	531	264.50,239.688082344736	601	299.50,186.052657710134	671	334.50,151.396782934333
392	195,193.495848179762	462	230,221.749272311358	532	265,239.812079413165	602	300,185.333277963769	672	335,151.079300281898
393	195.50,193.937188036848	463	230.50,222.12194581379	533	265.50,239.899638911699	603	300.50,184.622091949464	673	335.50,150.765347136351
394	196,194.378823178170	464	231,222.491304584447	534	266,239.938010699850	604	301,183.919099667219	674	336,150.455135441479
395	196.50,194.817264837428	465	231.50,222.857412320563	535	266.50,239.917492598708	605	301.50,183.224301117033	675	336.50,150.148337861069
396	197,195.258200218482	466	232,223.220247789726	536	267,239.832082955587	606	302,182.537696289808	676	337,149.844986338906
397	197.50,195.701629321330	467	232.50,223.579810991936	537	267.50,239.677424818674	607	302.50,181.859285212842	677	337.50,149.545023898779
398	198,196.147552145974	468	233,223.936101927193	538	268,239.452437355801	608	303,181.189067858836	678	338,149.248392844472
399	198.50,196.595968692414	469	233.50,224.289120595498	539	268.50,239.156902457768	609	303.50,180.527044236890	679	338.50,148.955035659773
400	199,197.038056688476	470	234,224.638866996850	540	269,238.792273853934	610	304,179.873214347004	680	339,148.664894828469
401	199.50,197.477569728222	471	234.50,224.984150416015	541	269.50,238.360361553298	611	304.50,179.227578189178	681	339.50,148.377912834345
402	200,197.916230122954	472	235,225.324687492264	542	270,237.865732358561	612	305,178.590135763412	682	340,148.094032161189
403	200.50,198.354037872671	473	235.50,225.661501364493	543	270.50,237.313672624886	613	305.50,177.960033855077	683	340.50,147.813195292787
404	201,198.790992977375	474	236,225.994592032704	544	271,236.700867906306	614	306,177.331368914081	684	341,147.535344712925
405	201.50,199.226319103891	475	236.50,226.323959496897	545	271.50,236.040521434002	615	306.50,176.709938265361	685	341.50,147.262821246040
406	202,199.654713287553	476	237,226.649603757070	546	272,235.330127311447	616	307,176.095741908915	686	342,146.993996519281
407	202.50,200.080281371945	477	237.50,226.971524813224	547	272.50,234.572874217001	617	307.50,175.48879844743	687	342.50,146.728313233293
408	203,200.503023357067	478	238,227.289722665359	548	273,233.781203753630	618	308,174.889052027846	688	343,146.465725073647
409	203.50,200.922939242919	479	238.50,227.604197313476	549	273.50,232.948442377410	619	308.50,174.296558593224	689	343.50,146.206185725918
410	204,201.340029029501	480	239,227.914948757573	550	274,232.087970406422	620	309,173.711299405877	690	344,145.949648875679
411	204.50,201.753436905308	481	239.50,228.223216841883	551	274.50,231.199382298605	621	309.50,173.133274510804	691	344.50,145.696068208502
412	205,202.162184564500	482	240,228.526172334874	552	275,230.285062600074	622	310,172.562483908005	692	345,145.445397409962
413	205.50,202.566978343866	483	240.50,228.826394636166	553	275.50,229.364044269074	623	310.50,171.998927597481	693	345.50,145.197590165630
414	206,202.967628005885	484	241,229.122983745759	554	276,228.421718018414	624	311,171.442605579232	694	346,144.952600161082
415	206.50,203.363954198229	485	241.50,229.415939663653	555	276.50,227.458527508093	625	311.50,170.893517853258	695	346.50,144.710381081889
416	207,203.756062559616	486	242,229.705262389848	556	277,226.474472738112	626	312,170.351664419558	696	347,144.470886613625
417	207.50,204.143596964843	487	242.50,229.990951924345	557	277.50,225.494728491143	627	312.50,169.817045278132	697	347.50,144.234070441863
418	208,204.526829776326	488	243,230.273008267143	558	278,224.505719745238	628	313,169.285735071758	698	348,143.999886252177
419	208.50,204.905224289991	489	243.50,230.551431418242	559	278.50,223.506809606568	629	313.50,168.756930481207	699	348.50,143.768287730139
420	209,205.280249241609	490	244,230.826221377642	560	279,222.495838075134	630	314,168.234318731605	700	349,143.539228561324
421	209.50,205.652290210828	491	244.50,231.102102572260	561	279.50,221.487387025584	631	314.50,167.717899822952	701	349.50,143.312662431303
422	210,206.022151250448	492	245,231.375160386375	562	280,220.482038345985	632	315,167.207673755248	702	350,143.088543025650
423	210.50,206.390150732612	493	245.50,231.645023966514	563	280.50,219.474027723767	633	315.50,166.703640528493		
424	211,206.756966179589	494	246,231.911693312677	564	281,218.463355158929				

97	2.66117420266956	-1.89146653853464	106.5	34.5	232.053139819539	4
96.5	2.65600198795241	-1.89195556044842	107	35	232.268710443765	4
96	2.65552183442631	-1.90742277465745	108.5	35.5	232.430589489425	4
95.5	2.66038868757671	-1.90121646795154	108	36	232.653714410912	4
95	2.65987918908976	-1.90024459023903	109	36	232.838418973255	4
94.5	2.65349215785902	-1.90821313804122	110	37	233.006952052909	4
94	2.65414636149772	-1.91048795655468	110.5	37	233.160272418033	4
93.5	2.66012817983449	-1.9155068919369	111.5	37.5	233.37961247172	4
93	2.65979975994034	-1.91755337501138	111.5	38	233.562140982947	4
92.5	2.65238150789556	-1.92015288617404	112	38.5	233.753430607882	4
92	2.65923816841675	-1.92547120843028	113	39	233.942614575932	4
91.5	2.65867916172081	-1.92625039417436	114	39.5	234.136778357602	4
91	2.65282773427427	-1.92918970242636	114.5	39.5	234.303383149184	4
90.5	2.65772574158466	-1.93152324621025	114.5	40.5	234.494813015292	4
90	2.65868883292468	-1.94061147183663	115.5	41	234.676876413777	4
89.5	2.65639209739744	-1.94457004983184	114.5	41	234.859265610596	4
89	2.65824902679344	-1.9434744262652	114	41.5	235.057604239147	4
88.5	2.65797613425181	-1.94401031132418	114	42.5	235.213058793514	4
88	2.65124687999462	-1.94341059667914	113	42.5	235.422547966588	4
87.5	2.65760182514799	-1.94874453727073	112.5	43	235.584960787567	4
87	2.65737158877937	-1.95085433953608	111.5	43.5	235.75957138642	4
86.5	2.65715938621582	-1.95717842490097	111	44	235.953996906857	4
86	2.6572210053449	-1.96123497281388	110.5	44.5	236.132480539222	4
85.5	2.65038092884012	-1.96239359360288	110	45	236.349427167967	4
85	2.65678550386473	-1.96947985179179	109	45.5	236.503073587778	4
84.5	2.65619501877686	-1.97188910849223	108.5	46.5	236.708387512337	4
84	2.65610833327467	-1.97129931865516	107.5	47	236.861041412528	4
83.5	2.65598297112281	-1.98083014978278	107	47.5	237.071099832338	4
83	2.6542615055164	-1.98417235480986	106	48	237.268834621323	4
82.5	2.6539790062246	-1.97881528443253	105.5	48	237.430882561359	4
82	2.65514032338419	-1.99097948904347	105	48.5	237.623280257177	4
81.5	2.65433268873717	-1.99137541061043	104	49	237.802960618447	4
81	2.65393460564731	-1.99530355399565	103	49.5	238.005194174692	4
80.5	2.6545715724683	-1.99063778602999	102.5	50.5	238.180994843783	4
80	2.6541251050198	-2.00139224499975	102	51	238.327001104926	4
79.5	2.65361626647289	-2.00281583618545	101	51	238.532807904623	4
79	2.65362490531383	-2.00346661653816	100	52	238.727644879032	4
78.5	2.6470442680979	-2.00918894014143	99.5	52.5	238.917183762904	4
78	2.65305915937533	-2.01136075704216	98.5	53	239.058065300855	4
77.5	2.65238581400205	-2.01676135518989	98	53.5	239.237169950994	4
77	2.65232671537085	-2.0183100825052	96.5	54.5	239.463667981939	4
76.5	2.65226898401836	-2.02022599526725	98	54.5	239.624537372912	4
76	2.65182356281007	-2.02944001294009	99	55.5	239.801371590336	4
75.5	2.65146702530963	-2.02485079682725	100	55.5	239.962010875423	4
75	2.65075900527394	-2.02795097944846	100.5	56.5	240.176170410848	0
74.5	2.65086836522198	-2.02762225090237	102	57	240.340078729426	0
74	2.64423042192203	-2.02752693965209	103	58	240.528806721058	0
73.5	2.64968876695534	-2.03170899870577	104	58.5	240.714382280157	0
73	2.64977469762835	-2.04147550603085	105	59	240.870321775594	0
72.5	2.6413588961838	-2.04196946945081	106	59.5	241.048549745962	0
72	2.64915019027943	-2.04403830596794	107.5	60.5	241.228962165068	0
71.5	2.64182811487234	-2.04724289615507	108.5	61	241.433991903503	0
71	2.64817486711297	-2.05310840509554	109.5	61.5	241.581860851543	0
70.5	2.64799680823772	-2.05436442219491	111	62	241.752199372053	0
70	2.64679985678517	-2.05803711063368	112	62.5	241.945037449869	0
69.5	2.64669221489159	-2.05938021667782	113.5	63	242.124759587951	0
69	2.64500593977606	-2.06029908957112	114.5	64	242.279820223351	0
68.5	2.6461555468087	-2.06502276604988	115.5	64.5	242.480417000403	0
68	2.63708441742405	-2.06893640333874	117	65.5	242.62399125071	0
67.5	2.6371902017771	-2.06425669033877	118.5	66	242.835441808913	0
67	2.63851700825342	-2.07818757797895	119.5	67	243.007183015687	0
66.5	2.64570378597209	-2.07046943478827	121	68	243.181677638676	2
66	2.63650092414996	-2.07328769571973	122.5	68	243.298787113446	2
65.5	2.6419810414464	-2.07892992586602	123.5	69	243.480000282951	2

表 5: 速度在 65 - 100 期间的各项指标

8.3 数据来源

- 热导率数据
 - https://en.wikipedia.org/wiki/Thermal_conductivity
- 密度数据
 - <https://en.wikipedia.org/wiki/Density>

参考文献

- [1] 杨世铭, 传热学 [M]. 第 4 版. 北京: 高等教育出版社, 2006
- [2] 李灿, 高彦栋, 黄素逸. 热传导问题的 MATLAB 数值计算 [J]. 华中科技大学学报 (自然科学版), 2002(09):91-93.
- [3] 代莹, 肖冰. 热传导方程中傅氏积分与傅氏变换的应用 [J]. 新疆师范大学学报 (自然科学版), 2019(09):5-19.
- [4] 孙浩然, 吴宏聪, 张嘉墀, 李明奇. 高温环境下热防护服的温度分布研究 [J]. 实验科学与技术, 2020, 18(04):1-6.
- [5] 李灿, 高彦栋, 黄素逸. 热传导问题的 MATLAB 数值计算 [J]. 华中科技大学学报 (自然科学版), 2002(09):91-93.
- [6] Solve 1-D parabolic and elliptic PDEs, Mathworks
(<https://www.mathworks.com/help/matlab/ref/pdepe.html/>), 2020